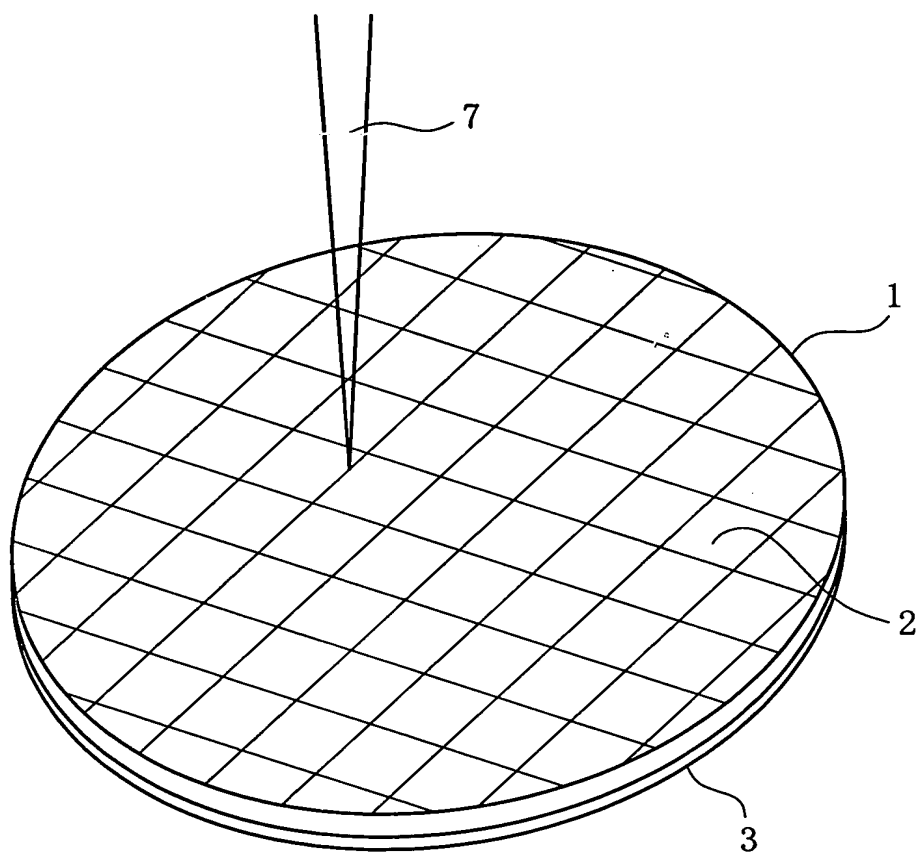


FIG. 1



200220" T9Z4800T

FIG. 2

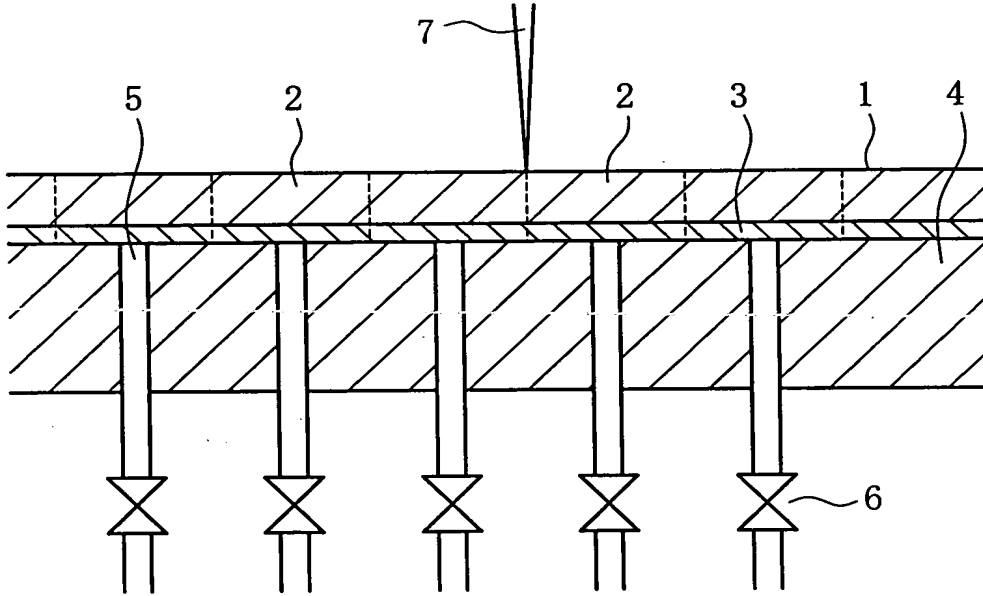


FIG. 3

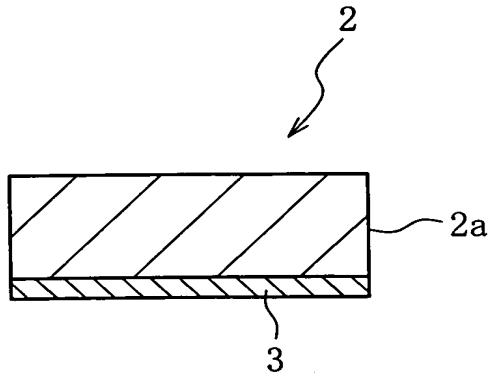


FIG. 4

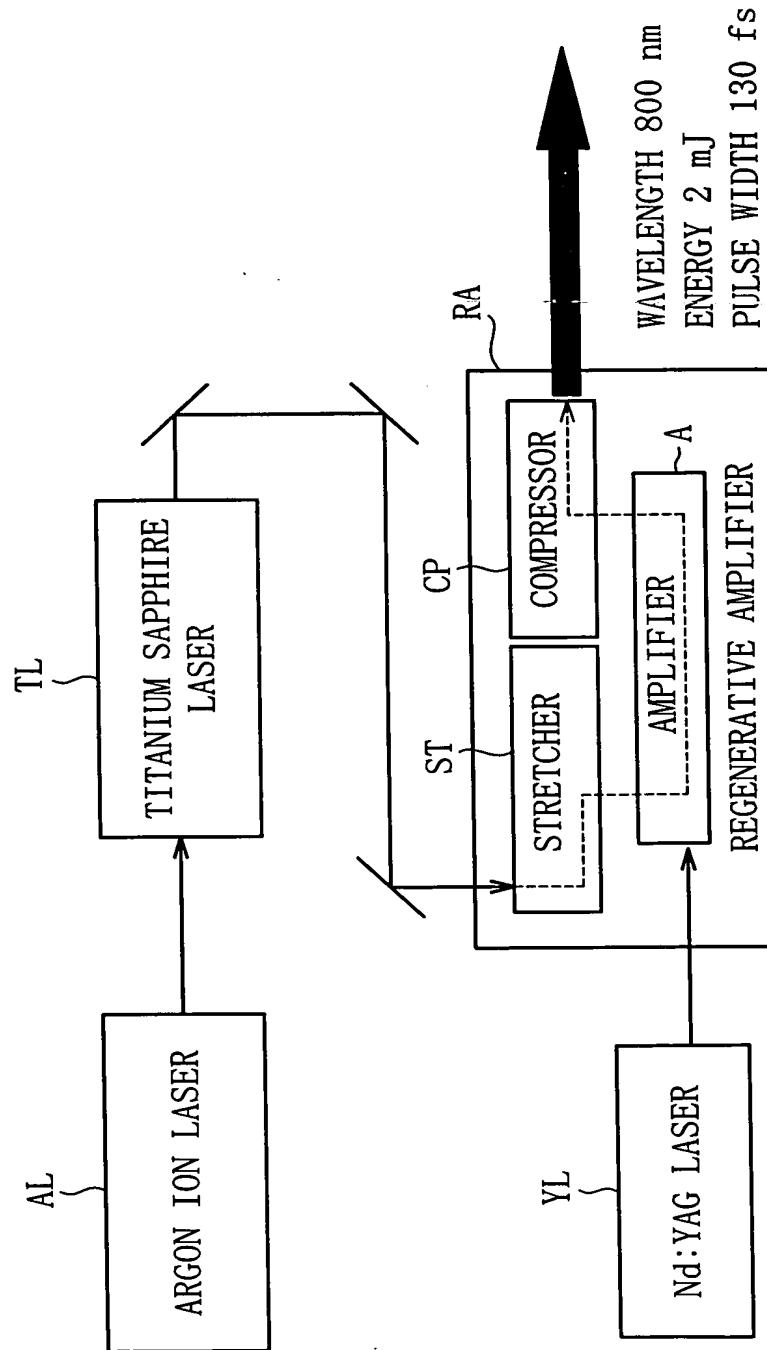
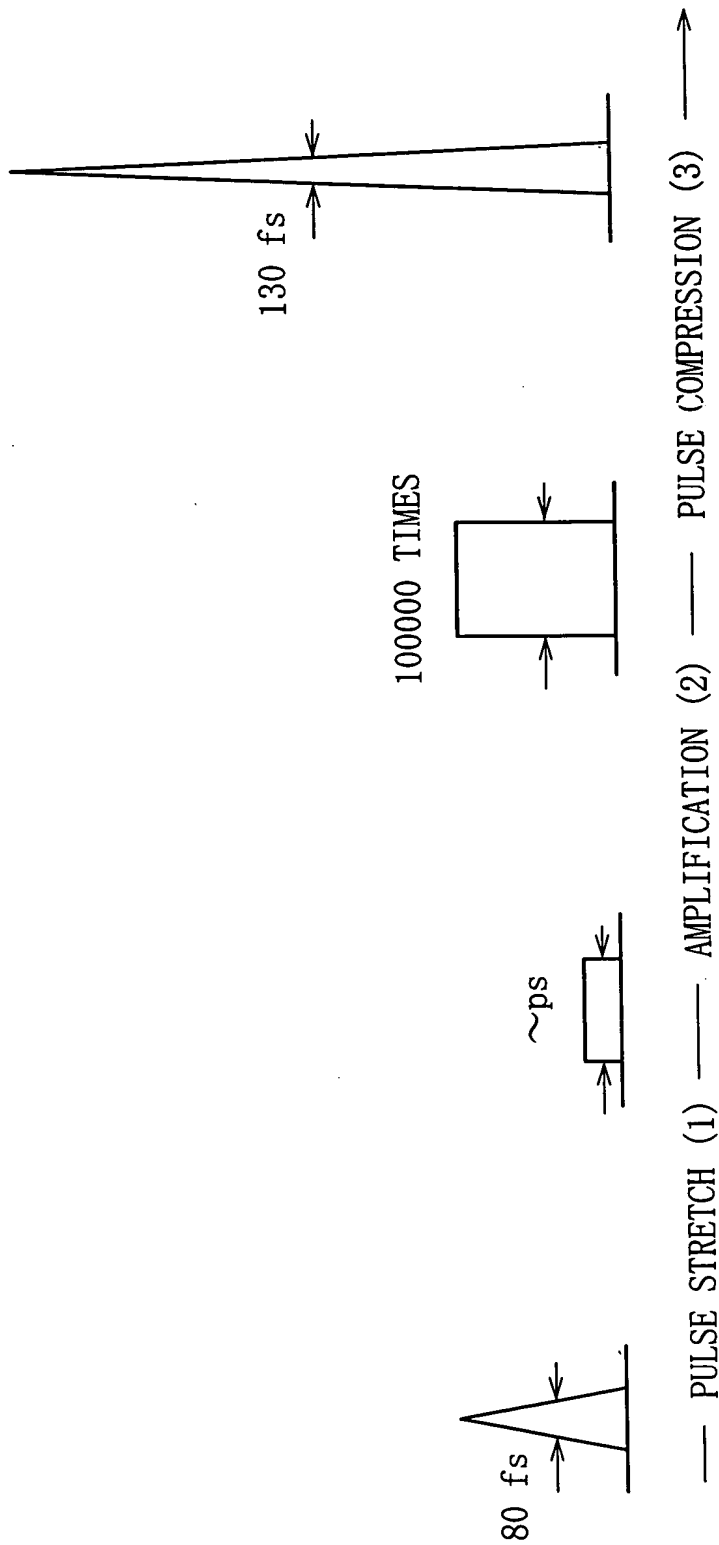


FIG. 5



10084761.022002

FIG. 6(A)

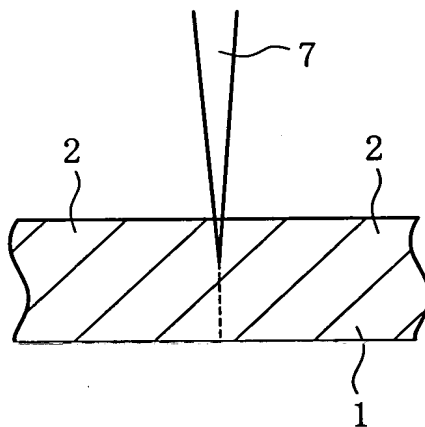


FIG. 6(B)

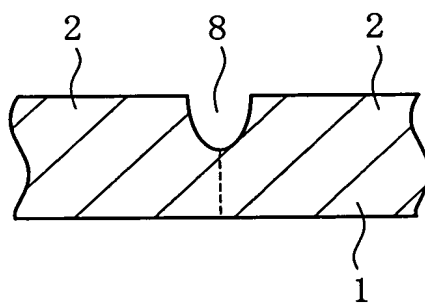


FIG. 6(C)

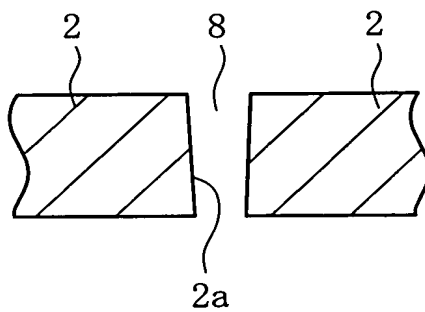
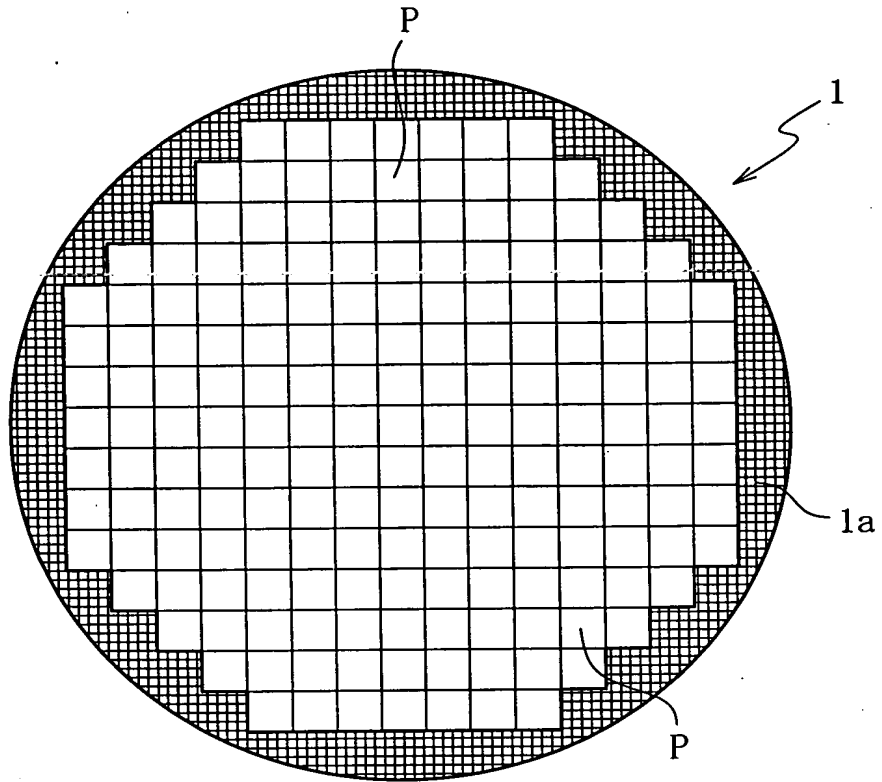
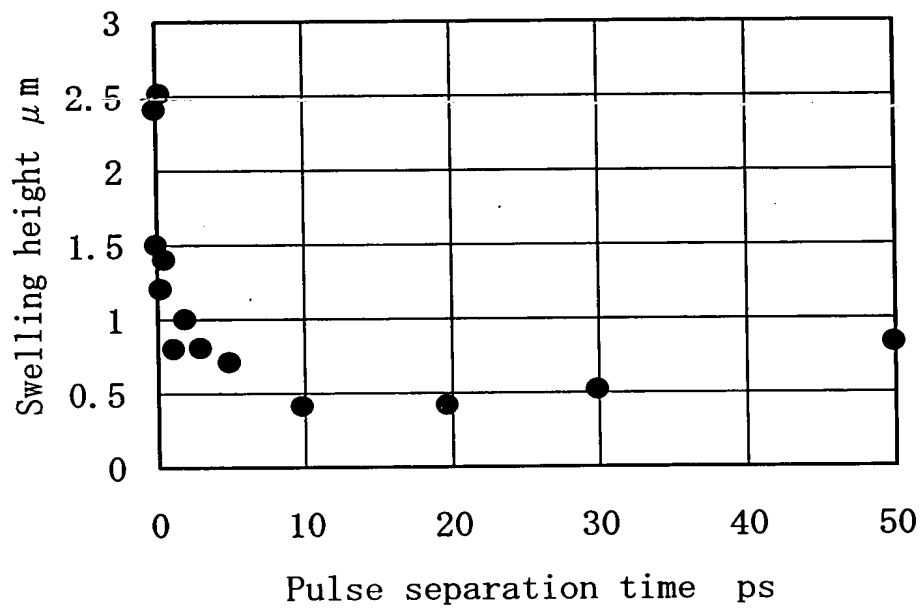


FIG. 7



10084761.022002

FIG. 8



$\tau=120\text{fs}$, $\lambda=800\text{nm}$, $N=18$

W.D.=100mm, $f=100\text{mm}$, $E=0.01\text{mJ/pulse}$

10084751.022002

FIG. 9(A)

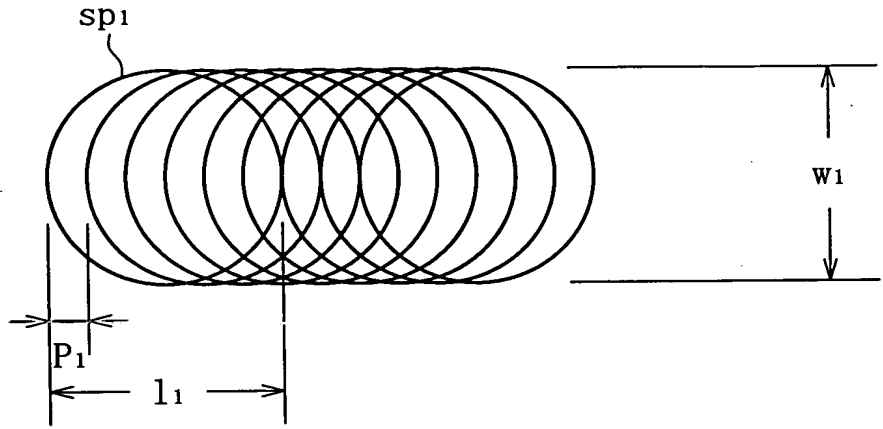


FIG. 9(B)

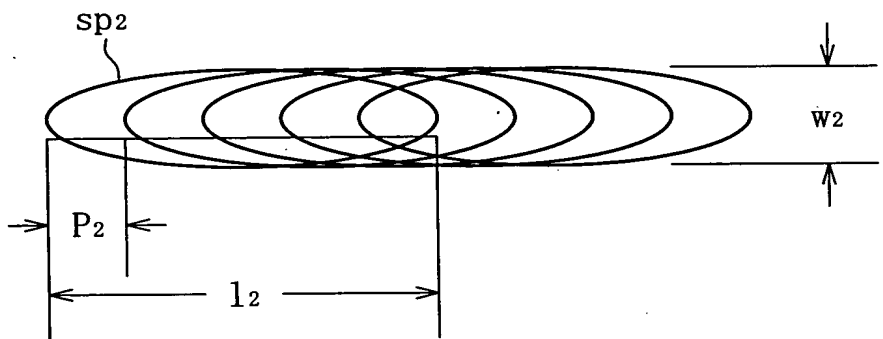


FIG. 9(C)

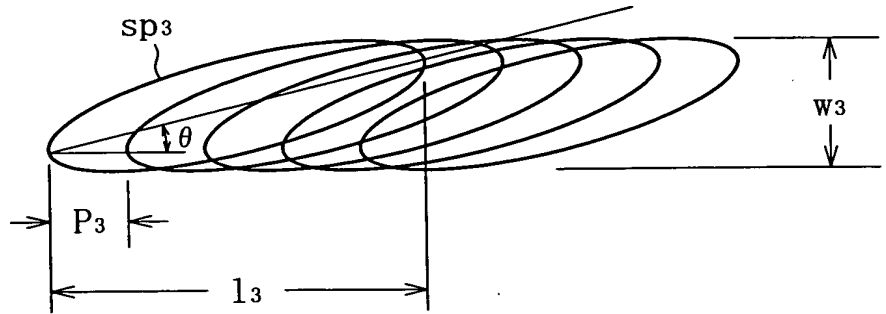
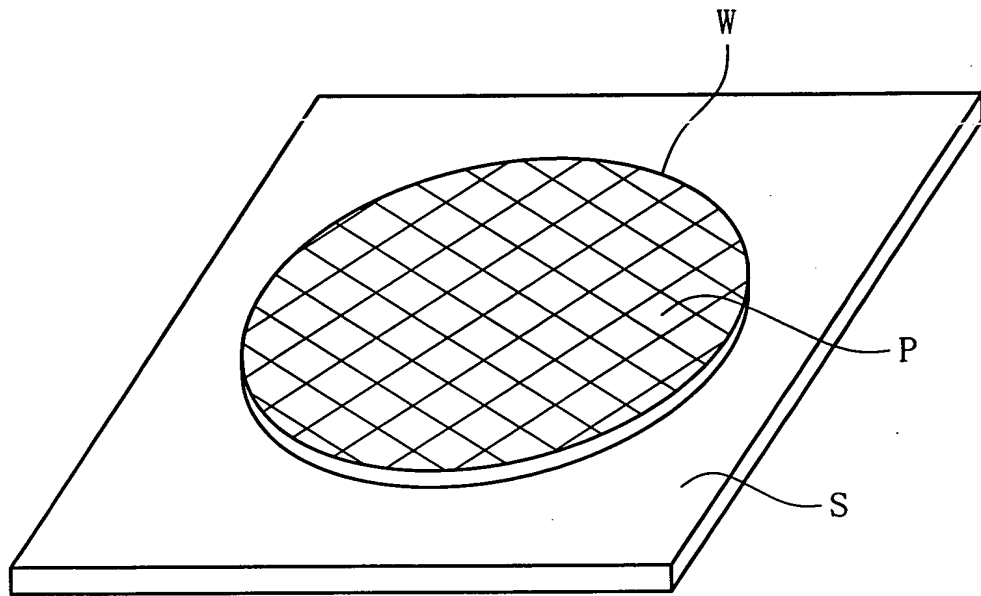
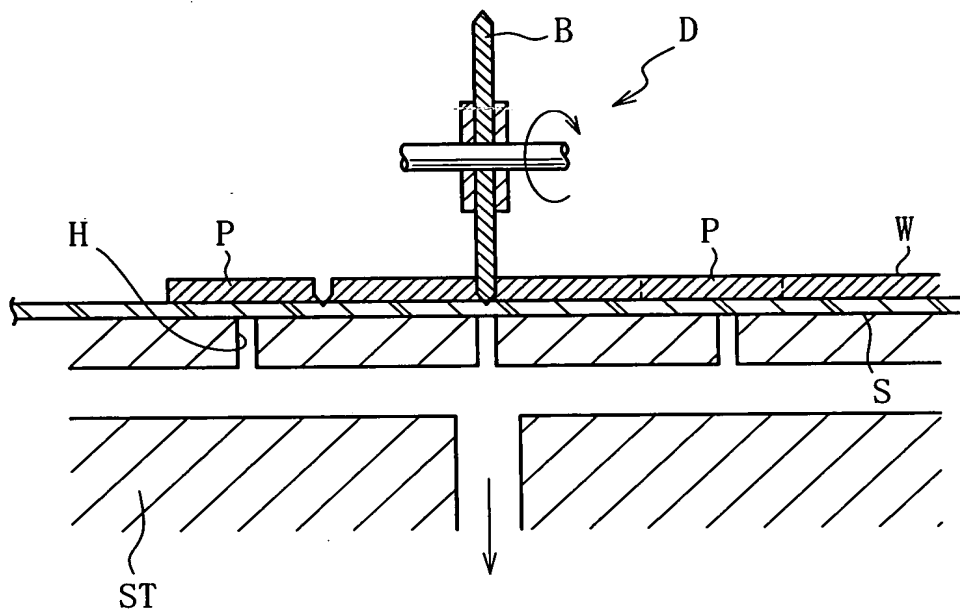


FIG. 10



10084761.022002

FIG. 11



10084761.022002

FIG. 12 (A)

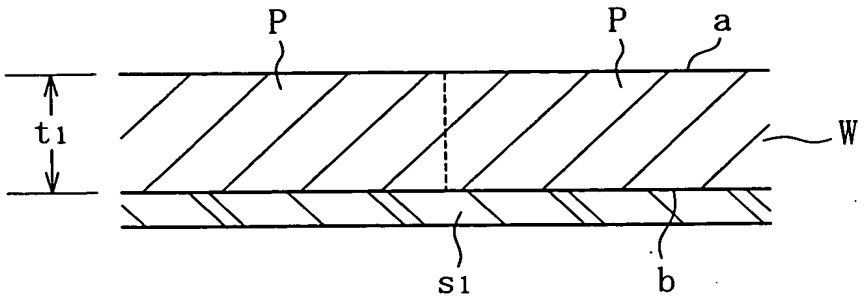


FIG. 12 (B)

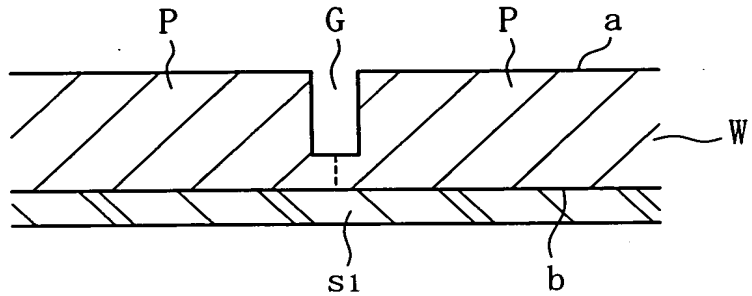


FIG. 12 (C)

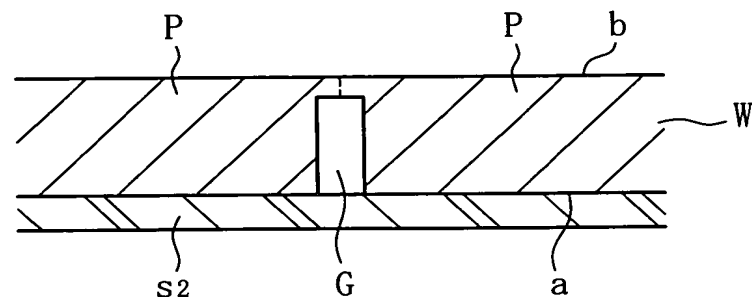
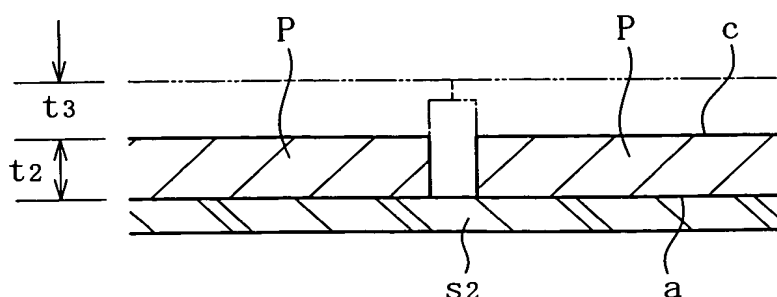


FIG. 12 (D)



200220 T9Z4800T 10084761.022002

FIG. 13(A)

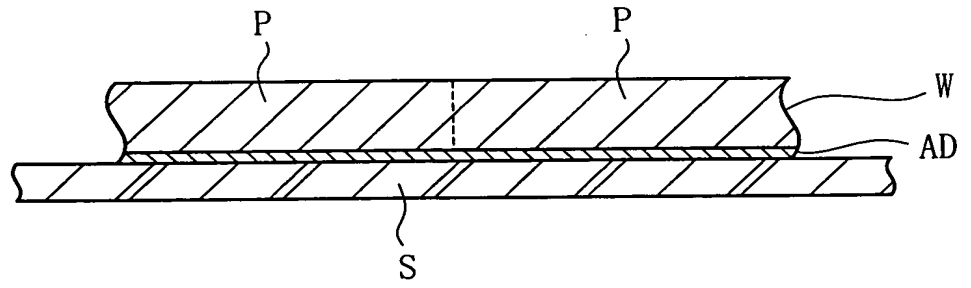


FIG. 13(B)

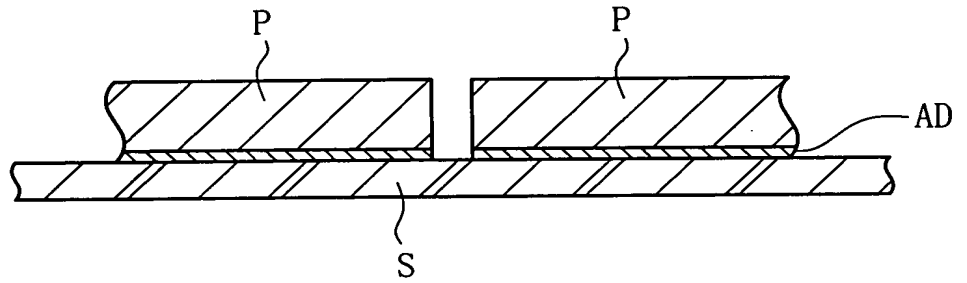


FIG. 13(C)

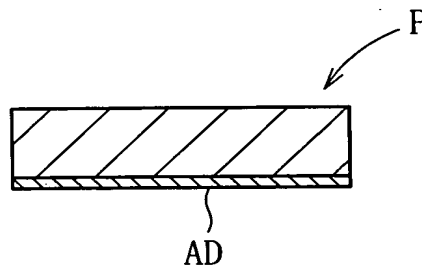


FIG. 13(D)

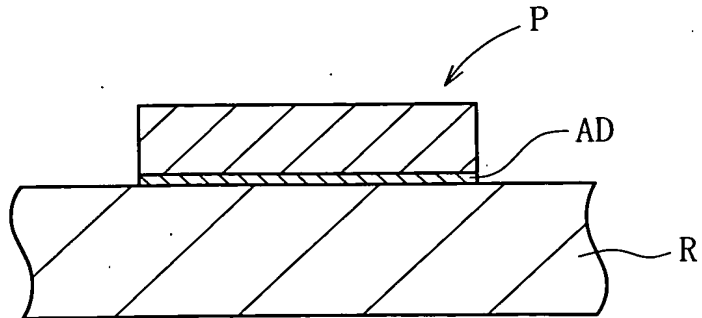


FIG. 14(A)

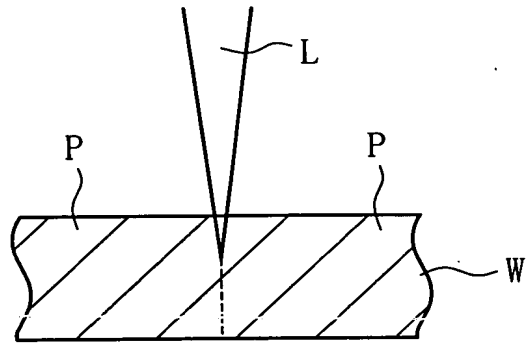


FIG. 14(B)

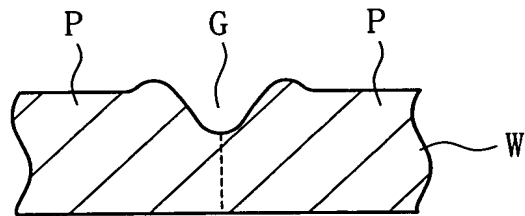


FIG. 14(C)

